# 裂缝的张开位移和应变的关系

## 齐景泰\* 蔡树棠

(国家物资总局)(中国科技大学近代力学系)

### 摘 要

本文采用 Kármán-钱<sup>III</sup>处理亚音速流动方法的精神,处理了弹塑性断裂力学问题。通过建立的"双弹性"模型,从理论上得到了裂缝端部的张开位移和应变的方程组。实例计算结果表明,理论值全部落在实验结果的分散带内。 文中并从理论上解释了实验结果与材料的性质及实验条件的关系。本文的结果不仅为宽板实验所证实,也被文献 [2] 的实验所证实。同时也表明,公式 (37) 用于工程,能够分析压力容器上应变裂缝的容许极限。

## 一、引言

从断裂安全的要求出发,在压力容器的设计、选材及构件的验收中,需要有一个能够正确确定压力容器上,应变裂缝的最大容许极限的方法,即给出压力容器上,裂缝端部的张开位移和应变的关系,或无量纲张开位移和应变比的关系。有关这类问题的研究,由于实际工程的迫切需要,早已引起人们的注意,文献[3-5]分别提出过经验公式。

$$\Phi = \varepsilon/\varepsilon_s \tag{1}$$

$$\Phi = \varepsilon/\varepsilon_s - 0.25 \tag{2}$$

$$\Phi = \frac{1}{K} \varepsilon / \varepsilon_s, \qquad (3)$$

其中  $\epsilon$ ——应变, $\epsilon$ ,——屈服应变,K——系数。实际表明,这些公式所算得的结果与宽板实验的结果相差很远。正因与实验差异太大,又缺乏理论根据,所以多年来,人们(包括 Wells 和 Burdekin 等人)就试图从理论上得到一个接近宽板实验结果的关系式。

我们采用 Kármán-钱<sup>口</sup>处理亚音速流动方法的精神来处理这类问题。所讨论的模型,是无限薄板,板中央有穿透型长度为 2a 的裂缝。 板在均匀拉应力  $\sigma_0$  的作用下,裂缝的尖端出现塑性区,在塑性区以外仍是弹性区。我们研究这种模型的裂缝端部  $\delta - \epsilon$  的关系,主要方法如下:

- 1. 我们先解决裂缝外围弹性区内的应力分布. 原因是,宽板实验的形变测量,或压力容器上的应变测量,都不是测量裂缝上的应变(实际上也不可能测量裂缝上的应变),而是在离开裂缝足够远的地方测量.
- 2. 我们认为,试件或压力容器受力后裂缝的长度,已不是原来的长度,而是把塑性区域的长度加在原裂缝上,就是把塑性区看成是裂缝的扩展部分。
  - 3. 由于裂缝长度增加,则裂缝上原来的张力就太小了,因为在扩展长度内,原承受着一部

本文 1978年6月13日收到。

<sup>\*</sup> 原在甘肃省天水长城电阻器厂工作:

分张应力、考虑到材料的硬化特性、我们假定、这个张应力就是材料的拉伸极限  $\sigma_{\nu}$ 、并把  $\sigma_{\nu}$ 以某种方式分摊到整个裂缝上, 弥补张应力太小的缺陷, 显然,这样得到的应力分布,对于离 裂缝较远的弹性区是接近实际的。于是,就可以利用现成的裂缝应力分布的公式。

科

因

中 .

- 4. 裂缝附近的应力分布,是我们研究的重点。由于小应力状态下,塑性区的范围较小,因 此,我们把应力的表达式向塑性区解析延拓过去,不会引起太大的误差,我们认为,可以适用 于除原裂缝端点以外的整个塑性区。于是,再把整个塑性区看成是另一种材料的弹性体。这样 就消除了用裂缝代替塑性区而产生的不连续问题。最后,求出塑性区的位移和应变的关系式,
- 5. 在推导塑性区方程的过程中,用到等效弹性模量  $E_i = \sigma_i/\varepsilon_i$ ; 这个量可以从简单拉伸 的应力应变曲线上得到,即在屈服点和断裂点之间用直线的平均斜率代替.
- 6. 在计算塑性区的  $\delta$ - $\epsilon$  的关系时,需要知道塑性区域的大小,所以要导出开始屈服那一点 的坐标 B (或 b/a) 与应力强度  $\frac{\sigma_s}{\sigma_s}$  之间的关系式。

## 二、裂缝的张开位移和应变的基本方程

#### 1. 模型

我们所讨论的模型,如图 1. 板中央开有一穿透型,长度为 2a 的裂缝,研究板在单向拉应 力  $\sigma_0$  作用下, 裂缝端部的  $\delta$  和  $\varepsilon$  的关系.

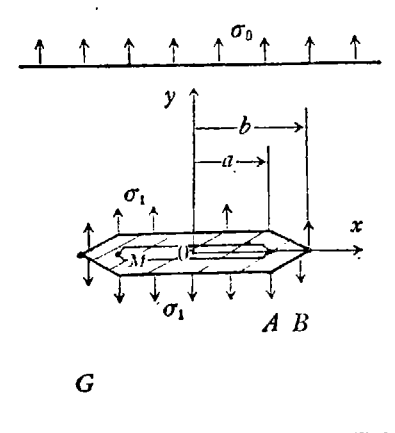


图 1

坐标按图 1 所示。当应力很小时 $\left(\frac{\sigma_s}{\sigma_s} > 5\right)$ ,裂缝两端

尚未达到屈服,仍属于弹性范围,它的解也很容易写出。当 应力较高时,裂缝两端出现塑性区,在塑性区的 \* 轴上,沿 y 轴方向有一定大小的拉应力。我们把它分摊到整个裂缝 上、就是把塑性区和原裂缝看成作用有拉应力 $\sigma$ <sub>1</sub> 的"弹性 体"M。这个"弹性体"与周围的弹性体G的边界条件是: (4) 在边界C上 因为模型是一薄板,所以在平面应力下,板上沿 y 轴方向作 用的均匀拉应力为 $\sigma_0$ . 当  $\frac{\sigma_s}{\sigma_0} > 1.15$ , 表明板在 $\sigma_0$  作用下,

没有大范围的屈服。我们已假定,板是由两种材料组成的, 于是,接受力情况把板划分两个区域,一个是,包括裂缝及塑性区的区域 M(见图 1 中的阴影 部分),另一个是除M区外的弹性区域G. 各区应当满足的关系式如下:

1) G 区域内应满足的关系式,由弹性理论知,应力应变关系为:

$$\varepsilon_{x} = \frac{\partial W_{x}}{\partial x} = \frac{1}{E} (\sigma_{x} - \nu \sigma_{y}),$$

$$\varepsilon_{y} = \frac{\partial W_{y}}{\partial y} = \frac{1}{E} (\sigma_{y} - \nu \sigma_{x}),$$

$$\gamma_{xy} = \frac{\partial W_{x}}{\partial y} + \frac{\partial W_{y}}{\partial x} = \frac{2(1+\nu)}{E} \tau_{xy}.$$
(5)

当引入应力函数,代入协调方程,有

$$\nabla^2 \nabla^2 \Phi = 0. \tag{6}$$

(6) 式的解为:

$$\psi(z) = U(x, y) + iV(x, y) = \frac{\sigma_0 z}{(z^2 - a^2)^{1/2}},$$

$$\psi'(z) = -\frac{\sigma_0 z^2}{(z^2 - a^2)^{3/2}}.$$
(7)

2) M 区域内应满足的关系式

这里  $\nu = \frac{1}{2}$ , 引入  $E_i = \frac{\sigma_i}{\epsilon}$ , 此区域内的应力应变关系为:

$$\varepsilon_{x} = \frac{\partial W_{x}}{\partial x} = \frac{1}{E_{i}} \left( \sigma_{x} - \frac{1}{2} \sigma_{y} \right),$$

$$\varepsilon_{y} = \frac{\partial W_{y}}{\partial y} = \frac{1}{E_{i}} \left( \sigma_{y} - \frac{1}{2} \sigma_{x} \right),$$

$$\gamma_{xy} = \left( \frac{\partial W_{x}}{\partial y} + \frac{\partial W_{y}}{\partial x} \right) = \frac{3}{E_{i}} \tau_{xy},$$
(8)

及

$$\sigma_{i} = \frac{1}{\sqrt{2}} \sqrt{(\sigma_{x} - \sigma_{y})^{2} + (\sigma_{y})^{2} + \sigma_{x}^{2} + 6\tau_{xy}^{2}},$$

$$\varepsilon_{i} = \frac{\sqrt{2}}{3} \sqrt{(\varepsilon_{x} - \varepsilon_{y})^{2} + (\varepsilon_{z} - \varepsilon_{x})^{2} + (\varepsilon_{y} - \varepsilon_{z})^{2} + \frac{3}{2}\gamma_{xy}}.$$
(9)

比较关系式 (5) 和 (8) 可见,其差别只是 E 和 E,不同。若同样引用应力函数,并代人协调方程,有

$$\frac{\partial^{2}}{\partial y^{2}} \left[ \frac{1}{E_{i}} \left( \frac{\partial^{2} \phi}{\partial y^{2}} - \frac{1}{2} \frac{\partial^{2} \phi}{\partial x^{2}} \right) \right] + \frac{\partial^{2}}{\partial x^{2}} \left[ \frac{1}{E_{i}} \left( \frac{\partial^{2} \phi}{\partial x^{2}} - \frac{1}{2} \frac{\partial^{2} \phi}{\partial y^{2}} \right) \right] \\
= \frac{\partial^{2}}{\partial x \partial y} \left( -\frac{3}{E_{i}} \frac{\partial^{2} \phi}{\partial x \partial y} \right). \tag{10}$$

只要  $E_i$  随着坐标的变化缓慢,(10) 式又回到(6) 式的形式。这说明在塑性区域里,只要 $E_i$  随着坐标的变化比较缓慢,其应力分布所要满足的方程式和弹性区域是相似的。因此,我们把弹性区的应力表达式解析地延拓到塑性区域内,于是,板内的应力分量可写成:

$$\sigma_{x} = U - y \frac{\partial V}{\partial x} - \sigma_{0}, \, \sigma_{y} = U + y \frac{\partial V}{\partial x},$$

$$\tau_{xy} = -y \frac{\partial U}{\partial x}.$$
(11)

这样做的结果,其力学性质除原裂缝外,都被满足。

#### 2. 塑性区域的确定

有了关系式(11),就可确定塑性范围的部位。

1) 在
$$y=0$$
,  $-a \le x < a$  的线段上,因  $U=0$ ,  $V=-\frac{\sigma_0 x}{(a^2-x^2)^{1/2}}$ ;  $\frac{\partial U}{\partial x}=0$ ,  $\frac{\partial V}{\partial x}=0$ 

$$-\frac{a^4\sigma_0}{(a^2-x^2)^{3/2}}$$
. 代人(11)及(9)式,有

$$\sigma_{\scriptscriptstyle \rm I} = \sigma_{\scriptscriptstyle \rm I} < \sigma_{\scriptscriptstyle \rm I} \tag{12}$$

可见,这里是弹性区,

2) 在 x=0 的线段上,因

$$U = \frac{y\sigma_0}{(y^2 + a^2)^{1/2}}, V = 0, \quad \frac{\partial U}{\partial x} = 0, \quad \frac{\partial U}{\partial y} = \frac{\partial V}{\partial x} = -\frac{a'\sigma_0}{(y^2 + a^2)^{3/2}}.$$

令 y/a = p, 代人(11)及(9)式,有

$$\sigma_i = \frac{\sigma_0}{\sqrt{2}} \sqrt{\frac{6p^2}{p^6 + 4 + 3p^4} + 2 + \frac{2p^2}{p^2 + 1} - \frac{6p}{(p^2 + 1)^{3/2}} - \frac{2p}{(p^2 + 1)^{1/2}}}$$

无论 p 是大于 1 或小于 1,都有

$$\sigma_i \doteq \frac{\sigma_0}{2} < \sigma_0 < \sigma_s, \tag{13}$$

此处仍是弹性区.

3) 在 y=0,  $|x| \ge a + \rho$  处,因为

$$U = \frac{\sigma_0 x}{(x^2 - a^2)^{1/2}}, V = 0, \frac{\partial V}{\partial x} = 0, \frac{\partial U}{\partial x} = -\frac{\partial V}{\partial y} = -\frac{a^2 \sigma_0}{(x^2 - a^2)^{3/2}}.$$

代人(11)及(9)式,又因  $|x|=a+\rho$ , 已知  $\rho/a\ll 1$ , 经整理有

$$\sigma_{i} = \sigma_{0} \sqrt{1 + \sqrt{\frac{a}{2a}} \left( \sqrt{\frac{a}{2a}} - 1 \right)} > 4\sigma_{0} \tag{14}$$

这里的  $\rho$  为裂缝端点的曲率半径, $a+\rho$  表示离开端点以外的部位。因为  $\frac{a}{\rho} > 50^{10}$ ,我们所研究的应力  $\sigma_0$  是在  $4 \geqslant \frac{\sigma_s}{\sigma_0} \geqslant 1.15$  的范围内,就有

$$\sigma_i > \sigma_i$$
, (14)'

显然,这里是塑性区。

以上分析得知,在裂缝端部  $|x| \ge a + \rho$  处是塑性区,但是我们关心的是开始屈服点 B 的坐标。显见,如果  $\sigma_0$  不是很小时,开始屈服的点 B,一定离裂缝端点比较远。具体计算将在下面讨论。

## 3. 基本方程

已知 y = 0, $|x| \ge a + \rho$  区域已进入塑性状态,这里的  $\nu = \frac{1}{2}$  根据本文模型,当塑性区形成后,在区域内就有一拉应力  $\sigma_1$  作用于裂缝上,考虑到材料的硬化特性,  $\sigma_1$  是用  $\sigma_b$  分

推在裂缝上的值来代替,由于引进 $\sigma_i$ ,就应当对方程(11)进行修正。 在裂缝上附加 $\sigma_i$ 后,应力表达式为:

<sup>1)</sup> 见陈篪等"切口宽度与断裂韧度"一文。

$$\sigma_{x} = \frac{\sigma_{0} - \sigma_{1}}{\sigma_{0}} \left[ U - y \frac{\partial V}{\partial x} \right] - (\sigma_{0} - \sigma_{1}),$$

$$\sigma_{y} = \frac{\sigma_{0} - \sigma_{1}}{\sigma_{0}} \left[ U + y \frac{\partial V}{\partial x} \right] + \sigma_{1}, \ \tau_{xy} = \frac{\sigma_{0} - \sigma_{1}}{\sigma_{0}} \left( -y \frac{\partial V}{\partial x} \right).$$
(15)

代人(8)式,有

$$\frac{\partial W_{x}}{\partial x} = \frac{1}{E_{i}} \frac{\sigma_{0} - \sigma_{1}}{\sigma_{0}} \left[ \frac{1}{2} U - \sigma_{0} - \frac{3}{2} y \frac{\partial V}{\partial x} - \frac{1}{2} \frac{\sigma_{1} \sigma_{0}}{\sigma_{0} - \sigma_{1}} \right],$$

$$W_{x} = \frac{1}{E_{i}} \frac{\sigma_{0} - \sigma_{1}}{\sigma_{0}} \left[ \frac{1}{2} \int U dx - \sigma_{0} x - \frac{3}{2} y V - \frac{1}{2} \frac{\sigma_{1} \sigma_{0}}{\sigma_{0} - \sigma_{1}} x \right] + f(y),$$

$$\frac{\partial W_{x}}{\partial y} = \frac{1}{E_{i}} \frac{\sigma_{0} - \sigma_{1}}{\sigma_{0}} \left[ \frac{1}{2} \int \frac{\partial U}{\partial y} dx - \frac{3}{2} V - \frac{3}{2} y \frac{\partial V}{\partial y} \right] + f'(y),$$

$$\frac{\partial W_{x}}{\partial y} = \frac{1}{E_{i}} \frac{\sigma_{0} - \sigma_{1}}{\sigma_{0}} \left[ \frac{1}{2} U + \frac{3}{2} y \frac{\partial V}{\partial x} + \frac{1}{2} \sigma_{0} + \frac{\sigma_{1} \sigma_{0}}{\sigma_{0} - \sigma_{1}} \right].$$
(16)

因 
$$\frac{\partial U}{\partial y} = -\frac{\partial V}{\partial x}$$
,  $\frac{\partial U}{\partial x} = \frac{\partial V}{\partial y}$ , 将 (16) 式代人  $\frac{\partial W_x}{\partial y} + \frac{\partial W_y}{\partial x} = \frac{3}{E_i} \frac{\sigma_0 - \sigma_1}{\sigma_0} \left( -y \frac{\partial V}{\partial x} \right)$ . 经整

理,得到位移 W,为:

$$W_{y} = \frac{\sigma_{0} - \sigma_{1}}{\sigma_{0}} \left[ \frac{2}{E_{i}} \int V dx - \frac{3}{2E_{i}} y U \right] - f'(y)x + F(y), \tag{17}$$

在 y=0 处的位移,因 U=0,  $V=-\frac{\sigma_0 x}{(b^2-x^2)^{1/2}}$ , 故为:

$$W_{y} = \frac{2}{E_{x}} (\sigma_{0} - \sigma_{1}) \sqrt{b^{2} - x^{2}}, \qquad (18)$$

应变为

$$\varepsilon = \frac{1}{2F_1} (\sigma_0 + \sigma_1). \tag{19}$$

最后,得到裂缝端点x = a处的张开位移

$$\delta = 2W_y = 8a\varepsilon \sqrt{\frac{b^2}{a^2} - 1} \left( \frac{\sigma_0 - \sigma_1}{\sigma_0 + \sigma_1} \right), \tag{20}$$

或无量纲张开位移为:

$$\Phi = \frac{\delta}{2\pi a \varepsilon} = \frac{4}{\pi} \sqrt{\frac{b^2}{a^2} - 1} \frac{\sigma_0 - \sigma_1}{\sigma_0 + \sigma_1} \cdot \frac{\varepsilon}{\varepsilon}.$$
 (21)

### 4. 关于 $E_c$ 与 $\delta$ 的关系

E, 的定义为:

$$E_i = \frac{\sigma_i}{\varepsilon}. \tag{22}$$

一般说, $E_i$  在塑性区并非常数。在开始屈服点 B 处, $E_i(B) = E$  。在裂缝端点 A 处, $E_i$  值由 A 点的  $\frac{\sigma_i}{\varepsilon_i}$  确定。(21)式是在下述假设下得到的。当塑性区范围不太大时  $\left(\frac{b}{a} < 1.5\right)$ ,在塑性 段内应力和应变成线性关系,即: $E_i$  随坐标的变化很缓慢。(21)式中的  $\varepsilon$  是  $E_i$  的函数,同时 塑性区域  $\left(\frac{b}{a}\right)$  也与  $E_i$  有关。因此,在为(21)式选取应变  $\varepsilon$  时,必须考虑到  $E_i$  的影响。 $E_i$  可

通过材料的  $\frac{\sigma_i}{\sigma_s} \sim \frac{\varepsilon_i}{\varepsilon_s}$  拉伸曲线的塑性阶段来确定,如图 2 所示,可写成:

$$\frac{\sigma_i}{\sigma_s} = \left(\frac{\varepsilon_i}{\varepsilon_s}\right)^n. \tag{23}$$

对于一般的低中强度钢,它的 n 值大约在 0.1-0.2 范围。改写(23)式,

$$\frac{\varepsilon_i}{\sigma_i} = \frac{\varepsilon_s}{\sigma_s} \left( \frac{\sigma_i}{\sigma_s} \right)^{\frac{1}{n} - 1}.$$
 (24)

假定裂缝已由A点扩展到B点(图 1)。由于裂缝是沿着最大主应力方向扩展的,所以说,沿扩展方向的应力已达到  $\sigma_b$ ,故  $\sigma_i = \sigma_b$ 。 又因刚开始屈服有  $\sigma_s = E \epsilon_s$ ,于是就有关系

$$\frac{1}{E_i} = \frac{1}{E} \left[ \frac{\sigma_b}{\sigma_s} \right]^{\frac{1}{n} - 1}.$$
 (25)

(25) 式给出了  $E_i = \varphi(E_1, \sigma_b, \sigma_c)$  间的关系。这里用到  $\frac{\sigma_b}{\sigma_c}$ ,这个比值与应力状态无关,只与材料的应力应变曲线的形状有关,可由简单拉伸实验确定。 对于低强度钢(软钢)大约在 2.4 以内,对于中强度钢大约在 1.8 以内,一般说不小于 1.3。

有了关系式(25), 再考察(19)式,得到塑性区的应变表达式:

$$\varepsilon = \frac{1}{2E} \left[ \frac{\sigma_b}{\sigma_s} \right]^{\frac{1}{n} - 1} (\sigma_0 + \sigma_i), \qquad (26)$$

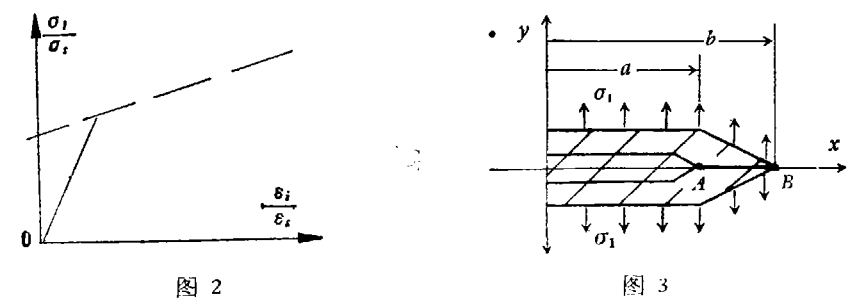
用屈服应变  $\varepsilon_s = \sigma_s/E$  除上式,又得到

$$\frac{\varepsilon}{\varepsilon_s} = \frac{1}{2\sigma_s} \left[ \frac{\sigma_b}{\sigma_s} \right]^{\frac{1}{n-1}} (\sigma_0 + \sigma_1). \tag{27}$$

方程 (27) 表明,对于塑性状态裂缝张开位移的计算,其应变比  $\frac{\varepsilon}{\varepsilon_s}$  的值不能任意选取,它不仅与材料有关,也与裂缝的几何尺寸及作用应力等有关。 这一问题,文献[3—5]给出的公式中,都无法反映出来。

#### 5. 关于 σ 的确定

σ<sub>1</sub> 是定义为作用在等效裂缝上的应力。我们知道, 裂缝的张开主要是由绕着等效裂缝端



点 B 的力矩起作用 (图 3)。根据定义, $\sigma_i$  为整个裂缝上的应力,因已假定,从裂缝端部 B 到原裂缝的端点 A 之间是裂缝的扩展段。考虑到金属变形过程的硬化特征,用  $\sigma_b = \alpha \sigma_i$  代替沿裂缝扩展方向的应力,这里的  $\alpha$  称为材料的硬化系数。以 B 点为参考点,它的力矩平衡关系为:

$$p = \sigma_1 \int_0^b x dx = \alpha \sigma_s \int_0^{b-a} x dx. \tag{28}$$

令  $m = \frac{\sigma_t}{\sigma_0}$ , 积分 (28) 式得到  $\sigma_t$  的表达式为:

$$\sigma_1 = a \left( 1 - \frac{a}{b} \right)^2 m \sigma_0 \tag{29}$$

关于金属材料的硬化问题,文献 [5,6,7] 都讨论过,实践证明,研究金属材料的断裂问题,不 考虑它的硬化特性是不符合实际的。所谓硬化,是指变形从开始屈服后,材料进入塑性变形直至断裂为止,这个过程中应力还在不断增加(见图 4),取塑性变形应力增加过程引进硬化系数 4 为:

$$\alpha = \left[\frac{\varepsilon_p E_i}{\sigma_s}\right]^n,\tag{30}$$

其中  $\epsilon$ , 是对应于应力达到最大值  $\sigma$ , 时的应变。

关于硬化指数 n, 文献 [6] 根据实验给出的  $n = \phi(\sigma_s)$  曲线, 我们整理成表 1.

由 (29) 式可见, $\sigma_i$  不仅与塑性区域的大小有关,而且与材料的力学性质及韧带尺度有关。

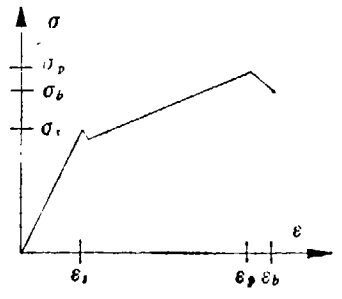


图 4

关于 $\alpha$ 的值,文献[6,7,11]都指出,对于中低强度钢,大

约在 2 左右. 许多实验使用的材料,其  $\alpha$  值均在  $1.3 \le \alpha \le 2.4$ 之间。宽板实验用的材料是硅正火镇静软钢, $\alpha$  值在  $1.5 \le \alpha \le 2.2$  范围。实际表明  $\alpha$  值的影响必须考虑,否则张开位移  $\delta$  将偏大,对中低强度钢, $\delta$  的偏差更大<sup>[6,7]</sup>。这一点可从本文的结果中看到。

表 1

n	0.1	0.111	0.125	0.143	0.167	0.2	0.22
σ,	110 170	100160	80—150	60-110	5095	25—70	50

## 6. 关于塑性区域 $\frac{a}{b}$ 的计算

从方程 (21)和(29)可见,当计算  $\sigma_i$  或  $\rho$  时,必须事先给出  $\frac{a}{b}$  的值。另外,在讨论  $E_i$  时也提到过,当塑性区不太大时  $\left(\frac{b}{a} < 1.5\right)$  才得到 (21) 式。因此,需要给出  $\frac{a}{b}$  的表达式。已知在 y=0,  $|x| \ge a+\rho$  的塑性区里的应力表达式为:

$$\sigma_{x} = \frac{\sigma_{0}x}{(x^{2} - a^{2})^{1/2}} - \left(\frac{x}{(x^{2} - a^{2})^{1/2}} - 1\right)\sigma_{1} - \sigma_{0},$$

$$\sigma_{y} = \frac{\sigma_{0}x}{(x^{2} - a^{2})^{1/2}} - \left(\frac{x}{(x^{2} - a^{2})^{1/2}} - 1\right)\sigma_{1}, \ \tau_{xy} = 0,$$
(31)

为了书写方便,令

$$\sigma = \frac{\sigma_0 x}{(x^2 - a^2)^{1/2}} - \left(\frac{x}{(x^2 - a^2)^{1/2}} - 1\right) \sigma_{1,3}$$

于是(31)式又可写成:

$$\sigma_{x} = \sigma - \sigma_{0}; \ \sigma_{y} = \sigma, \ \tau_{xy} = 0. \tag{31}$$

将(31)'式代人(9)式第一式,得到

$$\sigma_i = \sqrt{\sigma_0^2 + \sigma^2 - \sigma\sigma_0} \,. \tag{32}$$

又令  $\sigma = \sigma_0 \beta_k$ , 即得

$$\theta_{k} = \frac{x}{(x^{2} - a^{2})^{1/2}} - \left(\frac{x}{(x^{2} - a^{2})^{1/2}} - 1\right) \frac{\sigma_{1}}{\sigma_{0}}.$$
 (33)

当出现塑性区时,开始屈服的点 x 处的应力  $\sigma_i$  已达到全面屈服状态,即  $\sigma_i = \sigma_s$ ,将  $\sigma = \sigma_o \beta_K$  代入 (32) 式,有

$$\left(\frac{\sigma_s}{\sigma_0}\right)^2 = 1 + \beta_K^2 - \beta_K. \tag{34}$$

由(34)式解出

$$\beta_K = \frac{1}{2} + \sqrt{\left(\frac{\sigma_s}{\sigma_0}\right)^2 - 0.75}$$
 (33)

若开始屈服的点在B处,此点以外仍为弹性区,将x=b代入(33)式,就得到塑性区域的方程:

$$\beta_K = \frac{b}{(b^2 - a^2)^{1/2}} - \frac{a^2}{(b^2 - a^2)^{1/2}(b + \sqrt{b^2 - a^2})} \frac{\sigma_1}{\sigma_0}.$$
 (35)

令  $\frac{a}{b} = t$ , 将 (29) 式的  $\sigma_1$  代入 (35) 式,由 (33) 及 (35) 式就得到屈服点  $\frac{a}{b}$  的方程为:

$$\frac{1}{\sqrt{1-t^2(1+\sqrt{1-t^2})}} \left[1+\sqrt{1-t^2}-t^2(1-t)^2\alpha m\right] \\
-\frac{1}{2}-\sqrt{m^2-0.75}.$$
(36)

方程 (36) 的解,可用数值解法,已知 0.5 < t < 1 和  $4 \ge m \ge 1.15$ . 所以,很容易求得对应于某一m值的 t 值。取  $\alpha = 1, 1.5, 2, 2.5$ ,计算结果列入表 2 中。

m a	4	3.5	3	2.5	2	1.75	1.5	1.30	1.25	1.20
1	0.9739	0.9666	0.9555	11.7505	0.9030	0.873	0.818	0.750	0.723	0.687
1.5	0.9740	0.9667	0.9557	U.9370	0.9045	0.876	0.824	0.757	0.731	0.698
2	0.9741	0.9668	0 <b>.95</b> 58	0.9385	0.9060	0.878	0.830	0.764	0.739	J.7J8 :
2.5	U.9742	U.9669	0.9555	0.9388	0.9060	0.880	0.834	0.770	U.746	0.717

表 2  $t = f(\alpha, m)$ 

表 2 中的 t 值表明,当  $1.2 \le m \le 4$  时,塑性区域  $\frac{b}{a}$  均小于 1.5. 满足了假定塑性区不太大的条件.

# 7. 应变比 $\frac{\epsilon}{\epsilon}$ 的计算

有了  $t = f(\alpha, m)$  的结果,就可以用 (27) 式计算  $\frac{\varepsilon}{\varepsilon_t}$ ,将 (29) 式代人 (27) 式,有

$$\frac{\varepsilon}{\varepsilon_s} = \frac{1}{2} \left[ \frac{\sigma_b}{\sigma_s} \right]^{\frac{1}{n} - 1} \left[ \frac{1}{m} + (1 - t)^2 \alpha \right]. \tag{27}$$

下面是应用 (27) 式做的一些计算,为了与宽板实验结果比较,因为宽板实验的资料中只有  $\frac{\delta}{\delta_s}$  小于等于 + 的结果,所以本算例中只做了  $\frac{\delta}{\delta_s}$  < 5 的部分。另外,由于中低强度钢的  $\frac{\sigma_b}{\sigma_o}$  是在 2.1 以内,宽板实验用的材料, $\frac{\sigma_b}{\sigma_s}$  值在 1.5—2.0 之间,所以,在计算中取  $\frac{\sigma_b}{\sigma_s}$  由 2.1 起每间隔 0.1 取一值,直至 1.2 为止。取硬化指数 n=0.2,0.167,0.1+3,0.125,0.111,0.1。 算出每一 n 和  $\frac{\sigma_b}{\sigma_s}$  所对应于一组 n 的  $\frac{\delta}{\delta_s}$  值 n 计算的结果表明,对同一  $\frac{\delta}{\delta_s}$  ,可以出现在几种不同的况态中。 如  $\frac{\delta}{\delta_s}$  = 3.3,在 n'=0.2, $\frac{\sigma_b}{\sigma_s}$  = 1.9, m=2 中出现,而在 n=0.147, $\frac{\sigma_b}{\sigma_s}$  = 1.4, m=1.5 中,也出现  $\frac{\delta}{\delta_s}$  = 3.3。象这样的情况还可列举很多。它说明,不同的材料在不同的应力  $\sigma_0$  作用下,有相同的  $\frac{\delta}{\delta_s}$  ,另外,相同的材料在相同的外力作用下,由于裂缝几何尺寸的不同, $\frac{\delta}{\delta_s}$  也不同。因此,在计算裂缝张开位移时, $\frac{\delta}{\delta_s}$  的值不能任意选用,也不能用  $\mathbf{\Phi} = f\left(\frac{\delta}{\delta_s}\right)$  这种简单关系,应当根据材料的力学性能和受力状态,韧带尺度等因素,通过 (27)'式确定。

#### 8. 裂缝端部的张开位移和应变的方程

将(29)式代人(21)式,利用(36)和(27)式的关系,就得到塑性区裂缝端点的张开位移和应变的关系式

$$\Phi = \frac{4}{\pi} \sqrt{\frac{b^2}{a^2}} - 1 \left\{ \frac{\frac{1}{\alpha} - \left(1 - \frac{a}{b}\right)^2 \cdot m}{\frac{1}{\alpha} + \left(1 - \frac{a}{b}\right)^2 m} \right\} \frac{\varepsilon}{\varepsilon_s}.$$
 (37)

到此,得到了方程(37),(36),(27)'及辅助方程(30). 我们就可以通过计算分析给出应变区 裂缝的容许极限. 在检验压力容器时,应变比  $\frac{\varepsilon}{\varepsilon_s}$  常常是由实地测量给出. 在这种情况下,有 关参数 E , $\sigma_s$  , $\varepsilon_b$  , $\sigma_b$  , $\sigma_o$  , $\sigma_o$  , $\sigma_o$  都是已知的,根据表 1 查得对应的 n 值,按(30)式求出  $\alpha$  值,由(36)式求出  $\frac{a}{b}$  ,最后通过(37)式得到了对应于  $\frac{\varepsilon}{\varepsilon_s}$  的 $\Phi$  值. 应当指出,本文提供的方法,包括  $\frac{\varepsilon}{\varepsilon_s}$  值在内均可通过计算得到.

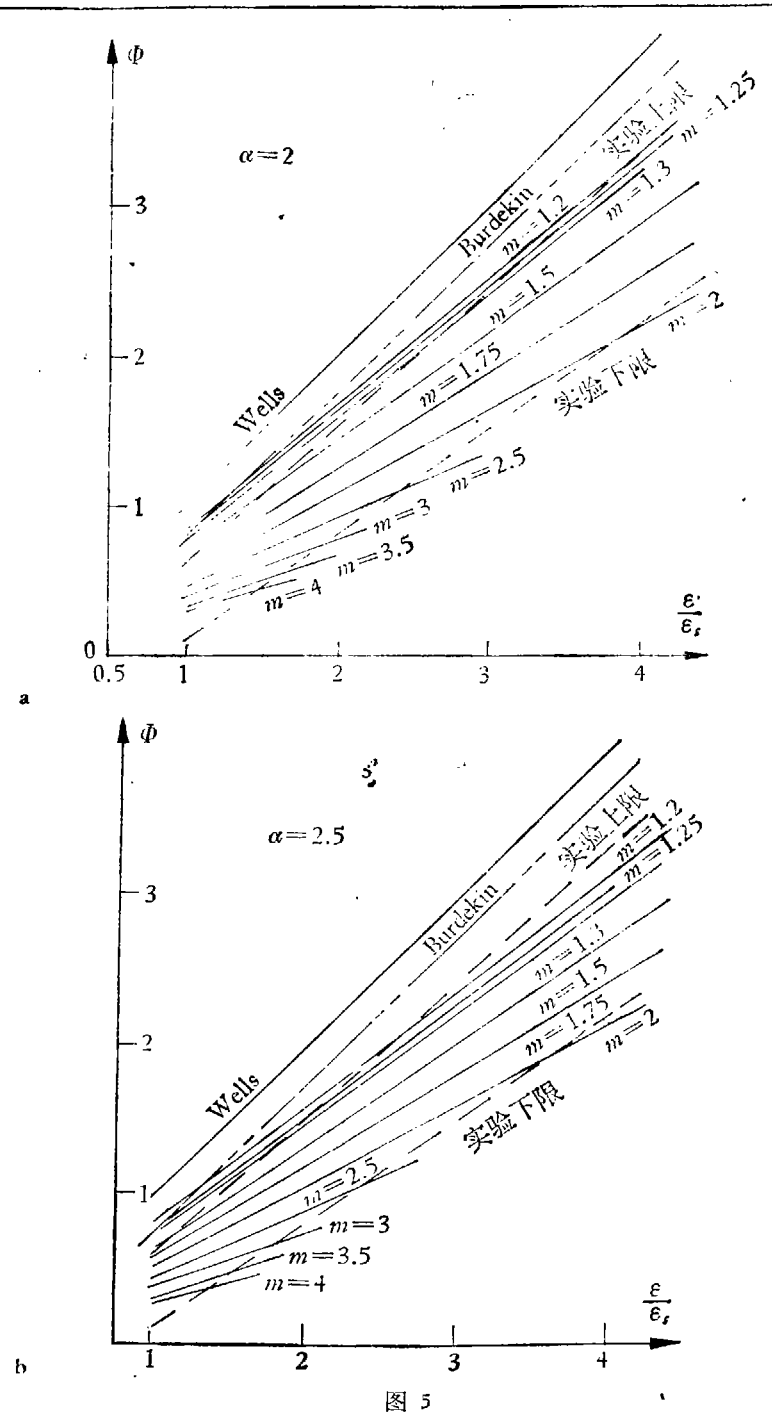
## 三、理论与实验结果的比较

# 1. 同宽板实验比较 $\left(\frac{\epsilon}{\epsilon}$ 是由实测得到 $\right)$

本文从理论上提出了弹塑性体裂缝端点的张开位移和应变的关系式(37)。为验证理论的正确程度,把它同宽板实验结果相比较。为此,应用理论公式(37),(36),对文献[8—10]的宽板实验进行了算例。结果列于图 5。图 5中同时列出了文献[8—10]的实验结果,还列出

<sup>1)</sup> 篇幅所限,略去数值表.

ф



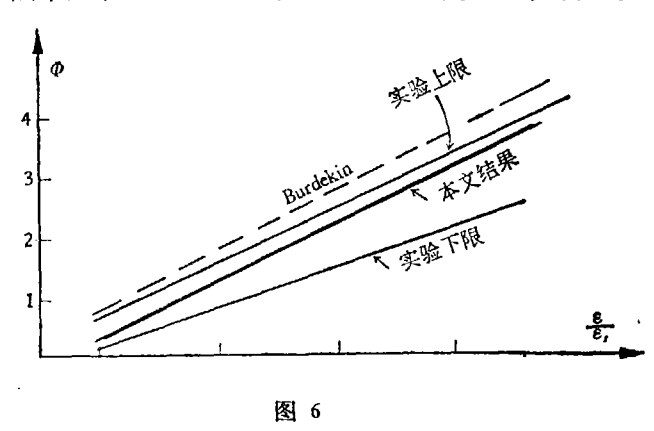
了按照 Burdekin 等人的公式 (1)—(3) 计算的结果.

宽板实验使用的钢材,是含 0.15% C, 1.15% Mn, 0.15% Si 的硅正火镇静软钢<sup>[6-9]</sup>. 这种钢的  $\sigma_s \le 50$  公斤/毫米², 它的 n 值由表 1 查得在 0.167—0.23 之间,Rice<sup>[7]</sup> 和陈篪<sup>[6]</sup>等人认为,这种钢的  $\alpha$  值在 1.5—2.4 之间,Rice 的计算结果  $\alpha = 2.03$ ,我们取这种钢的典型参数  $E = 2 \times 10^4$  公斤/毫米²,  $\epsilon_p = 33\%$ ,  $\sigma_s = 30$  公斤/毫米²,  $\epsilon_p = 45$ 公斤/毫米², 对  $\epsilon_p = 0.167$  和  $\epsilon_p = 0.2$  都

做了计算,得到  $\alpha = 1.8$  和  $\alpha = 2.13$ 。 这个结果与 Rice 及陈篪的结果是一致的。我们取  $\alpha = 1, 1.5, 2, 2.5$ ,每种情况下的各种 m 值进行了计算,结果列于图 5 中。由图 5 可清楚看到,对于  $\alpha = 2$  和 2.5 这两种材料,理论值完全落在宽板实验结果的分散带内,并且分布的形式也与实验结果一致。

# 2. 同宽板实验比较 $\left(rac{arepsilon}{arepsilon_{\epsilon}}$ 是通过 (27)'式计算的ight)

有了公式 (37),(36),(27)',我们也可以不通过实地测量  $\frac{\varepsilon}{\varepsilon_s}$  的办法,直接从理论上计算构件裂缝端点的张开位移。从而减少费用很大的实验。我们选用文献 [8—10] 中给出的宽板实验所用的六种试件做为算例,这六种试件的材料是相同的,只是裂缝的切口方式,长度 2a 及加载大小不同,由于实验是控制着应变  $\varepsilon_p$ 。 于是,韧带参数的影响都包含在作用应力  $\sigma_0$  内,计算的结果列入图  $\varepsilon_0$  中,图中只取  $\varepsilon_0$   $\varepsilon_0$  的结果,显见,两者是一致的。



### 3. 结果分析

分析图 5 中有关  $\alpha=2$  的结果,显然,宽板实验结果的上限对应着  $m \leq 1.2$ ,实验结果的下限.当应变比  $\frac{\varepsilon}{\varepsilon_s} \leq 4$  时对应着  $m \leq 2$ ,当  $\frac{\varepsilon}{\varepsilon_s} \leq 2.5$  时,对应于  $m \leq 2.5$ ,当  $\frac{\varepsilon}{\varepsilon_s} \leq 2$  时,对应于  $m \leq 3$ ,当  $\frac{\varepsilon}{\varepsilon_s} \leq 1.7$  时,对应于  $m \leq 3.5$ ,当  $\frac{\varepsilon}{\varepsilon_s} \leq 1.5$  时对应于  $m \leq 4$ ,当  $\frac{\varepsilon}{\varepsilon_s} \leq 1.3$  时,对应于  $m \geq 4$ 。可见分散带中间对应的应力强度  $\frac{\sigma_s}{\sigma_0}$  在 1.2-5 之间,由文献 [10]的图 1 已知,由于裂缝长度  $\alpha$  的改变,对相同变形来说应力  $\sigma_0$  是不同的. 所以说,受力状态对同一材料的试件而言,由于韧带尺度  $\frac{\alpha}{W}$  的不同而异,因此,分散带内的结果是表示着不同韧带尺度的影响。

已知 Wells 等人的宽板实验使用的试件,材料是相同的,板宽均为 915 毫米,而裂缝的半长 a 是在 13 毫米—229 毫米之间。 即  $\frac{a}{W}$  在  $\frac{1}{90}$  —  $\frac{1}{4}$  之间变化。所以,实验结果分散在一个范围内。

因  $m = \frac{\sigma_s}{\sigma_0}$ , 当我们引用断裂韧度因子  $K_{1c}$  时,有  $\sigma_0 = K_{1c} \frac{1}{\sqrt{a}}$ ; 于是得到  $m = \left(\frac{\sigma_s}{K_{1c}}\right)\sqrt{a}$ .

对于同一材料的各试件,它们的  $\sigma_s$  为常数, $K_{1c}$  的变化也不大,一般在 5% 以内。将宽板实验 试件的裂缝最大半长  $a_*$  及最小半长  $a_*$  的值代人  $m = \left(\frac{\sigma_s}{K_{1c}}\right)\sqrt{a}$ . 有  $\frac{m_*}{m_*} = \frac{15}{3.61} = 4$ . 由此 可见,宽板实验的上限与宽板实验的下限,其 m 值相差 4 倍。 在本文中最小 m = 1.15,最大 m = 4,由图 5 可见,当 m > 2.5 后都是在小应变中出现。这个结果说明,当裂缝较长、塑性区 很小时就发生了韧带屈服。

由图 5 可见,Burdekin 的公式,是由实验结果归纳的一种经验公式,实验结果又是在宽板 裂缝长度 a 很小的情况下得到的,相当于 m < 1.3。由此可见,他的公式是有条件的,不是在任意宽板裂缝几何尺寸下都适用。本文的这个结论也被文献 [12] 的实验结果证实了。

## 四、结 语

本文从理论上提出的  $\Phi = f\left(\frac{\varepsilon}{\varepsilon_s}, m, \iota, \alpha\right)$ 关系式,经过用宽板实验的结果验证,不仅理论结果与实验结果相当一致,而且又能圆满地解释实验结果的物理力学性质和实验条件。

Wells 等人的公式 (1), (2), (3), 都是  $\delta = F\left(\frac{\varepsilon}{\varepsilon_s}\right)$ 的简单关系,但是,几乎所有的实验都证明了,裂缝的张开位移并非唯一取决于应变。另外,用 Wells 等人的公式算出的结果都偏离实验结果很远。应强调指出,工程中的条件性是很重要的因素,不考虑条件随意使用 Burdekin 等人的公式,肯定说是不适宜的。

最后指出,应用本文提出的理论公式,可以不用或少做实验,直接用公式(37),(36),(27) 计算构件在已知受力状态、裂缝尺寸及材料的力学性能下的Φ值.从而为构件的设计、选材及 检验等方面提供了依据。

## 参 考 文 献

- [1] Tsien, H. S., Jour. of the Aero. Sci., 6(1936); Kármán, Th. Van., ibid., 8(1941), 337.
- [2] 蔡其巩,金属学报,13(1977),4.1.
- [3] Wells, A. A., British Welding Jour., 10(1963), 563, 13(1965), 2, 16(1968), 221.
- [4] Burdekin, F. M., et al., Conf. Pract, Appl. Fracture Mechanics to Prassure-Vessel Technology, 1971, 28.
- [5] 蔡其巩,金属学报,12(1976),1.
- [6] 陈篪等,金属学报,11 (1975),13 (1977),3.
- [7] Rice, J. R., Proc, 3-rd International Coaf Fract, 1973.
- [8] Wells, A. A., et al., British Welding Jour., 12 (1965), 145.
- [9] Burdekin, F. M., et al., Jour. Strain Analysis, 1(1966).
- [10] Egan, G. R., Second International Confrence on Pressure Vessd Technology, Pt II, 1973, 1037.
- [11] 力学参考资料(一)断裂力学,科技文献出版社重庆分社,1975。